

五味消毒飲의 抗炎效果 및 機轉에 關한 實驗的研究

원광대학교 한의과대학 부인과학교실

서윤정, 김송백, 조한백, 최창민, 이순이

ABSTRACT

Anti-inflammatory Effects of *Omisodokeum*

Yun-Jung Seo, Song-Baeg Kim, Han-Baek Cho, Chang-Min Choe, Soon-Yee Lee

Department of Oriental Obstetric and Gynecology, college of Oriental Medicine, Wonkwang University

Purpose: The purpose of this study was to investigate the anti-inflammatory effects of the water extract of *Omisodokeum* (OMSDE) on peritoneal macrophages.

Methods: To verify the anti-inflammatory mechanism of OMSDE, the activation of nuclear factor- κ B (NF- κ B) and the phosphorylation of MAPK were examined.

Results: The extract of OMSDE suppressed the production of LPS-induced nitric oxide (NO), tumor necrosis factor (TNF)- α , interleukin (IL)-1 β , IL-6 and IL-12 in the macrophages. OMSDE inhibited the degradation of inhibitory κ B- α (IkB- α) and it suppressed the activation of extracellular signal-regulated kinase (ERK 1/2) but didn't inhibit c-Jun N-terminal kinase (JNK) and p38, indicating that OMSDE may inhibit the pro-inflammatory cytokine production process by inhibiting the activation of NF- κ B and ERK 1/2. Furthermore, OMSDE inhibited the production of interferon (IFN)- β but didn't inhibit of IFN- α in the LPS-stimulated macrophages through the down-regulation of interferon regulatory factor (IRF)-1 and IRF-7. The Oral administration of OMSDE inhibited LPS-induced endotoxin shock and the production of TNF- α in serum but didn't inhibit of IL-1 β and IL-6.

Conclusion: These results suggest that OMSDE may be effective in the prevention and treatment of inflammatory diseases.

Key Words: Herbal medicine, nitric oxide (NO), tumor necrosis factor (TNF)- α , interleukin (IL), interferon (IFN)

“이 논문은 2006년도 원광대학교 교내 연구비 지원에 의하여 연구됨.”
“This research was supported by Wonkwang Univ. Research Fund. 2006”

I. 서 론

五味消毒飲은 《醫宗金鑑 外科心法要訣》¹⁾에 최초로 收載된 처방으로, 金銀花, 野菊花, 蒲公英, 紫花地丁, 紫背天葵子로 구성되며, 清熱解毒 작용이 강하여 热毒으로 인한 염증성 질환의 치료에 사용되고²⁾, 특히 부인과에 있어서는 帶下, 陰瘡, 급성골반염 등의 치료에 사용되어 온 처방이다^{3,4)}.

염증은 활성화된 면역세포에 의해 일어나는 선천 면역 계통의 복합적인 반응으로, 감염 장소에 발적 (redness), 발열 (heat), 부종 (swelling), 통증 (pain) 등이 나타난다⁵⁾. 선천 면역은 대식세포를 활성화하고⁶⁾, 활성화된 대식세포는 tumor necrosis factor (TNF)-α, interleukin (IL)-1β, TYPE I interferon (IFN) 등의 cytokine이나 nitric oxide (NO) 등의 염증물질을 다량 분비하여 염증반응에 중요한 역할을 한다^{7,8)}.

염증반응은 인체의 주요 방어 작용의 하나로 감염을 통제하고 조직을 복구하는 기능을 수행하기도 하지만, 인체에 해로운 작용도 유발하여 조직 손상과 병을 일으킬 수도 있다^{5,9)}.

이에 본 연구자는 清熱解毒의 효능으

로 염증성 질환에 常用되는 五味消毒飲이 급성 염증 반응으로 유도된 cytokine 및 endotoxin shock에 미치는 영향 및 기전을 실험적으로 알아보고자 하였다. 五味消毒飲이 LPS로 활성화된 대식세포에서 NO, TNF-α, IL-1β, IL-6, IL-12, IFN-α, IFN-β 등의 생성과 그 생성에 있어 nuclear factor-κB (NF-κB), mitogen-activated protein kinase (MAPK), interferon regulatory factor (IRF)-1, IRF-7의 기전에 미치는 영향을 관찰하여 유의한 결과를 얻었기에 보고하는 바이다.

II. 재료 및 방법

1. 재료

1) 동 물

C57BL/6 6주령 mouse의 암컷을 (주) 오리엔트바이오 (S. Korea 성남 경기도)에서 구입하여 사용하였다.

2) 약 재

본 실험의 五味消毒飲은 《醫宗金鑑》의 내용을 근거로 했다. 약재는 원광대학교 본초학 교실에서 구입한 후 정선하여 사용했으며, 1첩의 내용과 분량은 다음과 같다 (Table 1).

Table 1. The Prescription of Omisodokeum (OMSDE)

Scientific name	Herbal name	Amount (g)
<i>Lonicera japonica</i> THUNB.	FLOS LONICERAE(金銀花)	12
<i>Chrysanthemum morifolium</i> RAMAT.	FLOS CHRYSANTHEMI(野菊花)	4.8
<i>Taraxacum mongolicum</i> H. AND NAZZ.	HERBA TARAXACI(蒲公英)	4.8
<i>Viola mandshurica</i> W. BECKER	HERBA VIOLAE(紫花地丁)	4.8
<i>Semiaquilegia adoxoides</i> (D.C.) MAKINO	RADIX SEMIAQUIILEGIAE(紫背天葵子)	4.8
Total amount		31.2

3) 시 약

Fetal bovine serum (FBS), RPMI-1640 등의 세포 배양용 시약은 Gibco BRL (Grand Island, USA)사, 배양조는 Corning (Rochester, USA)사에서 구입하였다. 실험에 사용된 시약 중 chloroform, HEPES, sodium dodesyl sulfate (SDS), LPS (Serotype : 055 : B5) 등은 SIGMA (St. Louis, USA)사, 실험에 사용된 항체인 anti-p38 Ab 등은 Cell signaling (Denvers, USA)사에서 구입하였다. ERK1/2, p38, JNK, Actin 은 Santa Cruze Bio Technology (USA)에서, ELISA에 사용한 Anti-mouse TNF- α , IL-1 β , IL-6, IL-12 antibodies, 재조합 TNF- α , IL-1 β , IL-6, IL-12는 R&D Systems (Minneapolis, MN, USA)에서 구입했다. 실험에 사용된 모든 시약은 분석용 등급 이상으로 사용하였다.

2. 방법

1) 시료의 제조

실험에 사용된 약재는 五味消毒飲 (Table 1) 2첩 분량인 62.4 g을 1 ℥의 3 차 증류수로 2시간 30분 동안 전탕하여 거즈로 여과한 다음 -70°C (Defreezer)에서 12시간 동안 동결시키고, Freezing Dryer로 동결 전조시켜서 3.7 g의 분말을 얻었다. 그 얻어진 분말을 생리식염수로 녹여서 filter (0.2 μm syringe filter)로 3회 여과한 후 실험에 사용하였다.

2) 복강 대식세포의 배양

Thiogluccollate를 이용하여 염증성 대식세포를 얻기 위하여 2.5 ml의 thiogluccollate 를 C57BL/6 mouse의 복강 내에 주사하고, 3일 후에 희생시킨 후 10% FBS가 함유된 RPMI 1640 7 ml를 복강 내에 주

사하여 잘 흔든 다음, 다시 주사기로 유출했다. 유출된 복강세포는 4°C, 1,200 rpm에서 5분간 원심분리한 후 10% FBS 가 함유되고 1% penicillin이 보충된 RPMI 1640에 혼탁한 다음, cell을 counting해서 1×106 cells/ml로 6cm dish 나 plate에 분주하여 대식세포가 바닥에 부착되도록 5% CO2, 37°C 배양기에서 3 시간 동안 배양하고, 상층액을 버린 후에 dish나 plate에 부착한 세포를 대식세포로 간주하여 실험하였다.

3) 세포 생존율의 측정

대식세포의 생존율은 MTT 분석법¹⁰⁾으로 측정했다. 이로써 세포 독성을 확인할 수 있다.

지수성장을 하는 세포들은 RPMI 1640 배지에서 1×106 /ml의 밀도로 혼탁했고, 0.1 mg/ml, 0.3 mg/ml, 0.5 mg/ml, 1.0 mg/ml 농도에서 AETD로 처리했다. 4시간 동안 배양한 뒤 1 mg/ml의 농도로 배양하기 위하여 MTT 용액 (0.5 % 3-(4,5-dimethyl thiazol-2-yl)-2,5 diphenyl -2H-tetrazolium bromide)을 첨가하고 2시간 동안 배양했다. MTT-formazan 생성물은 동일한 용량의 용해 완충액 (50% n,n-dimethylformamide을 포함하는 20% SDS 용액, pH 4.7)을 첨가하여 용해한 다음, 20~24시간 동안 배양하였다. formazan의 양은 570 nm에 흡수되는 양을 측정하였다.

4) NO의 측정

NO는 NOS 효소에 의해 L-arginine에서 L-citrullin과 NO로 변하는데, 이는 빠르게 안정된 NO₂, nitrite (NO₂⁻), nitrate (NO₃⁻)로 변한다. Griess reaction¹¹⁾에 의하여 형성된 보라색의 아조염 (azo dye, -N=N-)의 농도로부터

nitrite의 농도를 측정했다. 즉, 100 μl 의 그리스 시약(Griess reagent : 0.5%의 Sulfanilamide, 2.5%의 phosphorous acid 및 0.5%의 naphthylethylenamine)을 상기 대조군과 실험군의 샘플 1내지 6의 각각에 100 μl 씩을 첨가하고, 그 혼합물을 37°C에서 10분간 배양하였다. 그 샘플의 빛의 흡수는 스펙트로포토메터 (MD, USA)로 540 nm에서 측정하였다. NO의 농도는 nitrite의 standard curve로부터 계산하였다.

5) Cytokine (TNF- α , IL-1 β , IL-6, IL-12)의 측정

대식세포에 五味消毒飲 추출물을 0.1 mg/ml, 0.3 mg/ml, 0.5 mg/ml 농도로 30분 동안 전 처리하고 LPS (500 ng/ml)로 자극하였다. 24시간 배양 후 pro-inflammatory cytokine의 염증 매개물질을 상층액에서 ELISA (Enzyme-Linked Immunosorbent Assay)법¹²⁾으로 정량하였다.

6) Western blot analysis¹³⁾

대식세포를 배양하고 serum free media (RPMI 1640)로 12시간 starvation시킨 후 五味消毒飲 추출물(500 mg/ml)로 전 처리하고 30분 후에 LPS (500 ng/ml)로 자극한 다음 cold PBS로 3회 세척하였다. 시간별 (0, 15, 30, 60 mins)로 cell 을 harvest하여 cell을 얻은 뒤 원심분리 (5,000 rpm, 5 mins)하여 그 상층액을 버리고 cell pellet을 수거하였다. 단백질을 lysis시키고, 원심분리 (15,000 rpm, 20 mins)로 찌꺼기를 침전시킨 후 단백질을 정량하였다. 같은 양의 단백질에 sampling buffer (4 \times)를 같이 넣어 섞은 다음, 그 sample을 10% SDS-PAGE에 전기영동 한 후 membrane에 옮기고 나

서 5% skim milk로 2시간 동안 blocking하였다. ERK, p38, JNK의 phosphorylation 과 I κ B- α 를 ECL detection 용액 (Amersham)으로 확인하였다.

7) Total RNA의 추출

배양한 세포에 五味消毒飲 추출물을 전 처리한 뒤 LPS로 자극한 후 24시간 배양한 세포를 PBS로 2회 씻은 다음 PBS 1 ml씩 가해 세포를 포집하고 원심 분리를 하여 상층부의 PBS는 버리고 바닥에 남은 세포층에 Tri-zol (invitrogen, USA) 용액을 1 ml 넣어서 세포를 용해 시킨 후 100 μl 의 chloroform 용액을 가지고 잘 섞어준 뒤 12,000 rpm에서 15분 간 원심분리하여 상층액을 취하였다. 그 후 2-propanol과 1 : 1로 섞은 뒤 12,000 rpm에서 10분간 원심분리하여 남은 침전물에 80% ethanol을 가하여 2회 씻고 전조시킨 후 DEPC 처리한 중류수를 15 μl 씩 넣어 RNA를 용해시키고 정량하였다.

8) Reverse Transcription-Polymerase Chain Reaction (RT-PCR)

Tri-zol로 추출한 RNA는 MML-V reverse transcriptase의 protocol을 사용하여 cDNA로 합성하였다. 역전사 반응을 위하여 total RNA (1 mg)에 0.5 mg of oligo-(dT)을 넣고 70°C에서 10분간 변성시켰다. 그 후에 single strand buffer (1 \times), 0.5 mM DTT, 500 mM dNTPs, 200 Unit MMLV reverse transcriptase를 첨가하고 42°C에서 1시간 반응시켰다. 그 후에 PCR은 각각의 tube에 1 μl cDNA, PCR buffer (1 \times), 1 mM MgCl₂, 200 mM dNTPs, 0.2 mM의 primer를 넣고 PCR 조건인 92°C에서 30초, 58°C에서 45초, 그 후에 72°C에서 30초를 30cycle

반복하였다.

사용한 primer는 다음과 같다.

iNOS (306bp) :

TGG GAA TGG AGA CTG TCC CAG
(forward)

GGG ATC TGA ATG TGA TGT TTG
(reverse)

TNF-a (276bp) :

ATG AGC ACA GAA AGC ATG ATC
(forward)

TAC AGG CTT GTC ACT CGA ATT
(reverse)

IL-6 (463bp) :

AT CCA GTT GCC TTC TTG GGA
(forward)

CAT TGG GAA ATT GGG GTA
GGA AG (reverse)

IL-12 (110bp) :

AGG CGA GAC TCT GAG CCA C
(forward)

CTT CAC ACT TCA GGA AAG TCT
(reverse)

β-ACTIN (514bp) :

TGT GAT GGT GGG AAT GGG
TCA G (forward)

TTT GAT GTC ACG CAC GAT TTC
C (reverse).

PCR반응이 끝난 후 sampling buffer
(1×)를 섞은 뒤 1.5% agarose gel에 10
μ씩을 넣고 전기영동 한 후 자외선을
이용하여 반응을 확인하였다.

9) Endotoxin shock의 동물실험

mice를 10마리씩 3개의 그룹으로 나누
고 첫 번째는 생리식염수를, 두 번째는
五味消毒飲 추출물 100 mg/kg을, 세 번
째는 五味消毒飲 추출물 500 mg/kg을 일
주일간 매일 경구투여하고 3시간 후 복

강에 LPS (50 mg/kg)를 주사하여 그 생
존율을 72시간 동안 관찰하였다.

10) In vivo의 실험모델

五味消毒飲 추출물을 mouse 한 그룹
에 10마리씩, 마리당 100 mg/kg과 500 mg
/kg 의 농도로 일주일간 매일 경구투여
한 후 치사량의 LPS (50 mg/kg)를 복강
내 주사했다. 3시간 뒤에 mouse의 심장
에서 혈액을 1 ml 주사기로 뽑아낸 후
2,000 rpm으로 4°C에서 20분간 원심분리
하여 상층액 serum만 분리하고 ELISA
법으로 TNF-a, IL-1β, IL-6를 정량하였
다.

11) Real-time PCR

Real-Time PCR은 앞에 기술한 RNA
추출 방법으로 얻어서 합성한 cDNA를
사용하여 TaqMan 방법으로 확인하였
고, 사용한 primer와 probe는 아래와 같
다.

Primer :

TTGCTCGAGATGTCATGAAGGA
(mHPRT-f),

TGAGAGATCATCTCACCAATAACTT
(mHPRTf) :

CCGAAGACCTTATGAAGCTCTTTG
(mIRF-1-f),

GCAAGTATCCCCTTGCCATCG
(mIRF-1-r) :

CTGGAGCCATGGGTATGCA
(mIRF-7-f),

AAGCACAAAGCCGAGACTGCT
(mIRF-7-r) :

CCTGTGTGATGCAGGAACC
(mIFN-α4-f),

TCACCTCCCAGGCAGTGA
(mIFN-α4-r) :

ATGAGTGGTGGTTGCAGGC

(mIFN- β -f),
TGACCTTTCAAATGCAGTAGATTCA
(mIFN- β -r);
Probe :
FAM-TGGGAGGCCATCACATTGTG
GCTAMRA (mHPRT),
FAM-CAGTCTGAGTGGCAGCGGAC
ACACA-TAMRA (mIRF-1),
FAM-CTGGAGGGCGTGCAGCGTGA-
TAMRA (mIRF-7),
FAM-AGACTCCCTGCTGGCTGTGA
GGACA-MGB-NFQ (mIFN- α 4),
FAM-AAGCATCAGAGGCGGACTCT
GGGA-TAMRA (mIFN- β)

3. 통계처리

실험 결과에 대한 통계처리는 student's t-test에 준하였고, p-value가 0.05 미만일 경우 유의한 것으로 판정하였다.

III. 결 과

1. 五味消毒飲 추출물이 대식세포의 독성에 미치는 영향

mouse의 대식세포에 五味消毒飲 추출물을 농도별 (0.1 mg/ml, 0.3 mg/ml, 0.5 mg/ml, 1.0 mg/ml)로 전처리하고 MTT 분석법으로 생존율을 측정한 결과 五味消毒飲 추출물 0.1 mg/ml, 0.3 mg/ml, 0.5 mg/ml, 1.0 mg/ml에서 각각 98.35±2.40%, 95.42±4.25%, 87.23±3.27%, 67.00±4.56%로 나타나 1.0 mg/ml 만 대식세포에 독성을 나타냈다(Fig. 1).

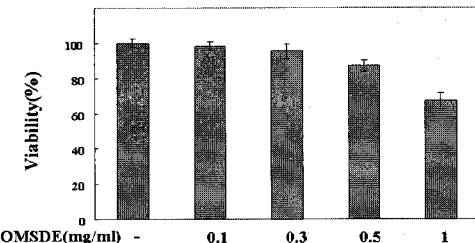


Fig. 1. The effect of OMSDE extract on cytotoxicity in peritoneal macrophages.

2. 五味消毒飲 추출물이 NO의 생성에 미치는 영향

정상군은 아무런 처리도 하지 않았고, 대조군은 LPS (500 ng/ml)만 처리하였으며, 실험군은 五味消毒飲 추출물 0.1 mg/ml, 0.3 mg/ml, 0.5 mg/ml를 전처리하고 LPS (500 ng/ml)로 자극한 후 Griess reaction으로 NO의 생성을 측정한 결과, 정상군은 0.82±0.19 ng/ml, 대조군은 38.84±1.66 ng/ml, 五味消毒飲 추출물 0.1 mg/ml, 0.3 mg/ml, 0.5 mg/ml의 실험군은 각각 33.84±0.56 ng/ml, 8.84±1.30 ng/ml, 3.71±0.51 ng/ml로 나타나 NO 생성은 0.3 mg/ml, 0.5 mg/ml 농도에서 현저하게 감소하였다(Fig. 2A). RT-PCR 방법으로 五味消毒飲 추출물이 iNOS mRNA의 발현을 억제함을 확인할 수 있었다(Fig. 2B).

3. 五味消毒飲 추출물이 TNF- α 의 생성에 미치는 영향

정상군은 대식세포에 아무 처리도 하지 않았고, 대조군은 대식세포에 LPS (500 ng/ml)로 자극하였으며, 실험군은 五味消毒飲 추출물 0.1 mg/ml, 0.3 mg/ml, 0.5 mg/ml를 전처리하고 LPS (500 ng/ml)로 자극한 상태에서 ELISA 방법으로 측정한 결과, 정상군은 0.17±0.01 ng/

ml, 대조군은 1.52 ± 0.08 ng/ml, 五味消毒飲 추출물 0.1 mg/ml, 0.3 mg/ml, 0.5 mg/ml의 실험군은 각각 1.34 ± 0.08 ng/ml, 0.62 ± 0.05 ng/ml, 0.19 ± 0.05 ng/ml로 나타나 농도 의존적으로 감소하였다(Fig. 3A). 또한, 五味消毒飲 추출물은 TNF- α mRNA의 발현을 억제함을 확인하였다(Fig. 3B).

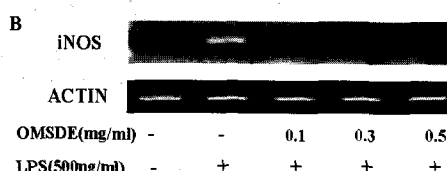
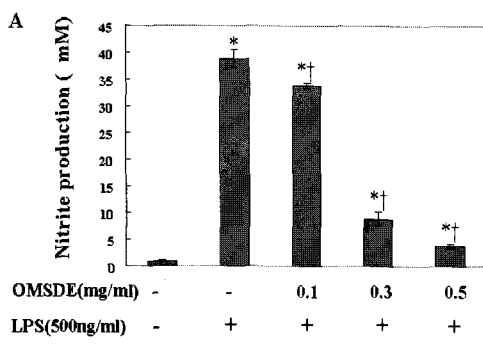


Fig. 2. The effect of OMSDE extract on LPS-induced NO production in peritoneal macrophage.

(*P < 0.05 : significant as compared to control, † P < 0.05 : significant as compared to LPS alone)

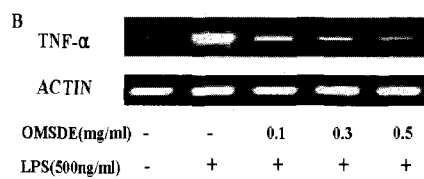
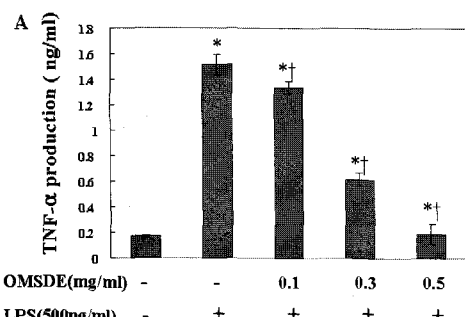


Fig. 3. The effect of OMSDE extract on LPS-induced TNF- α production in peritoneal macrophages.

4. 五味消毒飲 추출물이 IL-1 β 의 생성에 미치는 영향

五味消毒飲 추출물을 다양한 농도 (0.1 mg/ml, 0.3 mg/ml, 0.5 mg/ml)로 전처리하고 LPS (500 ng/ml)로 자극한 후 ELISA 방법으로 측정한 결과, 정상군은 0.04 ng/ml, 대조군은 0.12 ± 0.01 ng/ml, 五味消毒飲 추출물 0.1 mg/ml, 0.3 mg/ml, 0.5 mg/ml의 실험군은 각각 0.11 ± 0.01 ng/ml, 0.09 ± 0.06 ng/ml, 0.05 ± 0.02 ng/ml로 나타나 농도 의존적으로 감소하였다 (Fig. 4A). 또한, RT-PCR 방법으로 조사한 결과 五味消毒飲 추출물은 IL-1 β mRNA의 발현을 억제함을 확인하였다(Fig. 4B).

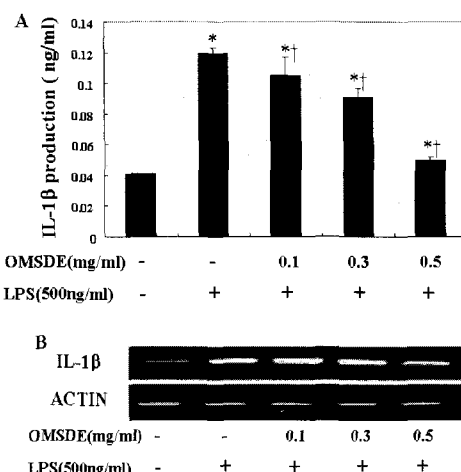


Fig. 4. The effect of OMSDE extract on LPS-induced IL-1 β production in peritoneal macrophages.

5. 五味消毒飲 추출물이 IL-6의 생성에 미치는 영향

五味消毒飲 추출물을 다양한 농도(0.1 mg/ml , 0.3 mg/ml , 0.5 mg/ml)로 전처리하고 LPS(500 ng/ml)로 자극한 후 ELISA 방법으로 측정한 결과, 정상군은 0.20 ng/ml , 대조군은 $4.50 \pm 0.12 \text{ ng/ml}$, 五味消毒飲 추출물 0.1 mg/ml , 0.3 mg/ml , 0.5 mg/ml 의 실험군은 각각 $5.20 \pm 0.11 \text{ ng/ml}$, $1.20 \pm 0.11 \text{ ng/ml}$, $0.45 \pm 0.08 \text{ ng/ml}$ 로 나타나 0.1 mg/ml 농도를 제외하고는 농도 의존적으로 감소하였다(Fig. 5A). 또한, RT-PCR 방법으로 조사한 결과 五味消毒飲 추출물은 IL-6 mRNA의 발현을 억제함을 확인하였다(Fig. 5B).

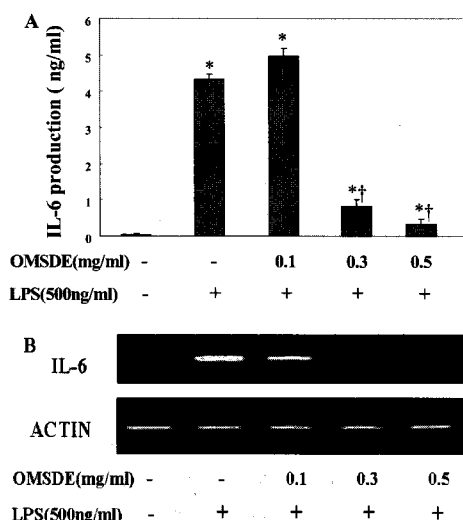


Fig. 5. The effect of OMSDE extract on LPS-induced IL-6 production in peritoneal macrophages.

6. 五味消毒飲 추출물이 IL-12의 생성에 미치는 영향

五味消毒飲 추출물을 다양한 농도(0.1 mg/ml , 0.3 mg/ml , 0.5 mg/ml)로 전처리하고 LPS(500 ng/ml)로 자극한 후

ELISA 방법으로 측정한 결과, 정상군은 0.35 ng/ml , 대조군은 $23.21 \pm 3.01 \text{ ng/ml}$, 五味消毒飲 추출물 0.1 mg/ml , 0.3 mg/ml , 0.5 mg/ml 의 실험군은 $18.45 \pm 1.78 \text{ ng/ml}$, $16.65 \pm 3.24 \text{ ng/ml}$, $4.87 \pm 0.54 \text{ ng/ml}$ 로 나타나 농도 의존적으로 감소하였다(Fig. 6A). 또한, RT-PCR 방법으로 조사한 결과 五味消毒飲 추출물은 IL-12 mRNA의 발현을 억제함을 확인하였다(Fig. 6B).

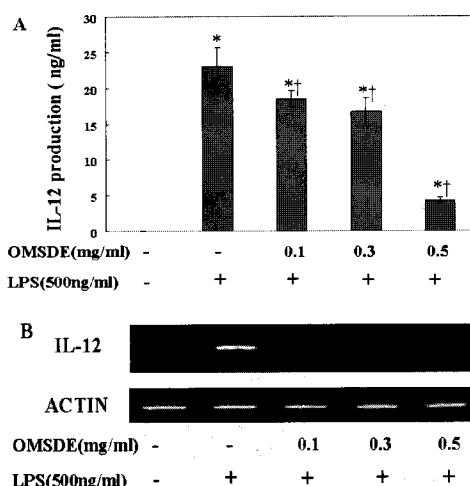


Fig. 6. The effect of OMSDE extract on LPS-induced IL-12 production in peritoneal macrophages.

7. 五味消毒飲 추출물이 LPS로 유도된 NF-κB 및 MAPK의 활성에 미치는 영향

五味消毒飲 추출물이 NF-κB 및 MAPK인 ERK 1/2, p38, JNK 1/2의 활성에 미치는 영향을 조사하기 위하여 대식세포에 五味消毒飲 추출물(0.5 mg/ml)로 전처리하고 LPS(500 ng/ml)로 자극한 후, IκB-α 및 ERK 1/2, p38, JNK 1/2를 western blot 분석한 결과, 五味消毒飲 추출물은 IκB-α의 degradation을 억제하여 NF-κB의 활성을 억제하고, MAPK에

서는 p38과 JNK 1/2의 인산화를 억제하지 못하였으나 ERK 1/2의 인산화를 억제함을 확인하였다(Fig. 7).

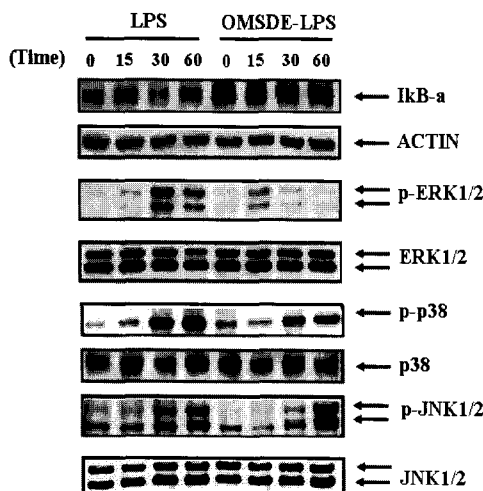


Fig. 7. The effect of OMSDE extract on the expression of IKB- α degradation and MAPK activity in LPS-stimulated of peritoneal macrophage cells.

8. 五味消毒飲 추출물이 IFN- α 와 IFN- β mRNA의 발현에 미치는 영향

대식세포에 五味消毒飲 추출물 (0.5 mg/ml)을 전처리하고 LPS (500 ng/ml)로 자극한 후 Real Time-PCR 방법으로 측정한 결과, IFN- α 는 0, 0.5, 1, 3, 6, 12 시간 후 대조군이 각각 8.84, 18.94, 25.99, 57.77, 56.76, 38.04 fold changes, 실험군이 각각 7.00, 15.08, 19.87, 47.20, 55.47, 31.52 fold changes로, IFN- β 는 0, 0.5, 1, 3, 6, 12시간 후 대조군이 각각 0.00, 0.00, 1.69, 0.29, 0.02, 0.02 fold changes, 실험군이 각각 0.00, 0.00, 0.23, 0.03, 0.02, 0.00 fold changes로 나타나서, 五味消毒飲 추출물은 대식세포에서 IFN- α mRNA의 발현을 억제하지 못하였으나, IFN- β mRNA의 발현을 억제함을 확인하였다(Fig. 8).

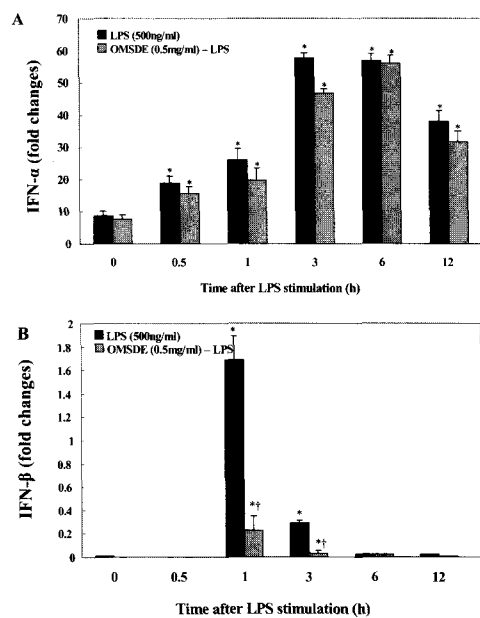


Fig. 8. The effect of OMSDE extract on LPS-induced IFN- α and IFN- β production in peritoneal macrophages.

9. 五味消毒飲 추출물이 IRF-1과 IRF-7 mRNA의 발현에 미치는 영향

대식세포에 五味消毒飲 추출물 (0.5 mg/ml)을 전처리하고 LPS (500 ng/ml)로 자극한 후 Real Time-PCR 방법으로 IRF-1과 IRF-7 mRNA 발현 정도를 확인한 결과, IRF-1은 0, 0.5, 1, 3, 6, 12시간 후 대조군이 각각 0.00, 0.06, 0.32, 0.68, 0.85, 1.16 fold changes, 실험군이 각각 0.01, 0.05, 0.03, 0.58, 0.02, 0.07 fold changes로, IRF-7은 0, 0.5, 1, 3, 6, 12시간 후 대조군이 각각 0.04, 0.03, 0.03, 1.73, 17.44, 31.52 fold changes, 실험군이 각각 0.00, 0.00, 0.00, 0.00, 0.52, 0.14 fold changes로 나타나서, 五味消毒飲 추출물은 IRF-1과 IRF-7 mRNA의 발현을 모두 억제함을 확인하였다(Fig. 9).

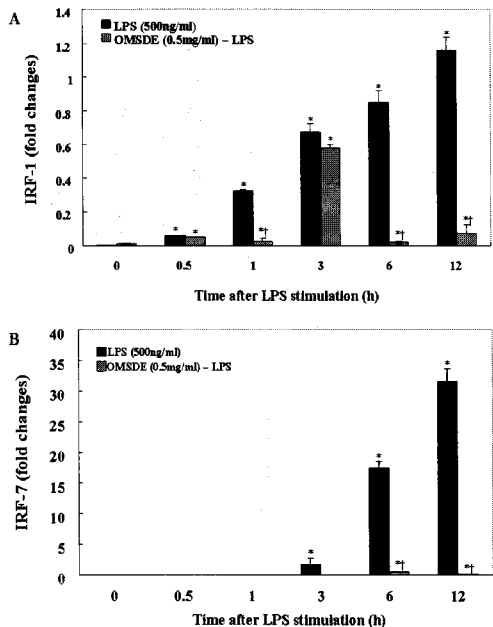


Fig. 9. The effect of OMSDE extract on LPS-induced IRF-1 and IRF-7 production in peritoneal macrophages.

10. 五味消毒飲 추출물이 mouse의 생존율에 미치는 영향

五味消毒飲 추출물이 LPS로 유도된 endotoxin shock에서 mouse 생존율에 미치는 영향을 조사하기 위하여 mouse를 세 그룹으로 나누어 첫 번째는 생리식염수를, 두 번째는 五味消毒飲 추출물 100 mg/kg을, 세 번째는 五味消毒飲 추출물 500 mg/kg을 일주일간 매일 경구투여한 후 일주일째 LPS (50 mg/kg)를 복강주사 한 결과 생리식염수만 투여한 그룹에서는 24시간 이후 0%의 생존율을 보였으나, 五味消毒飲 추출물 100 mg/kg, 500 mg/kg을 투여한 그룹에서는 각각 80%, 100%의 생존율을 보였고, 36시간 이후 五味消毒飲 추출물 100 mg/kg, 500 mg/kg을 투여한 그룹의 생존율은 각각 40%, 80%, 48시간 후 생존율은 각각 0%, 40%를 보였다(Fig. 10).

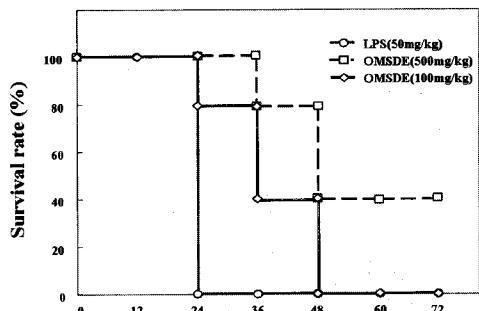


Fig. 10. The effect of OMSDE extract on LPS-induced endotoxin shock in vivo.

11. 五味消毒飲 추출물이 혈청 내 TNF- α , IL-1 β , IL-6의 생성에 미치는 영향

정상군은 아무 처리도 하지 않았으며, 대조군은 LPS (50 mg/kg)를 복강 내 주사하였고, 실험군은 五味消毒飲 추출물 100 mg/kg, 500 mg/kg을 일주일간 경구투여하고 LPS (50 mg/kg)를 복강 내 주사한 후 혈청 내 TNF- α , IL-1 β , IL-6를 ELISA 방법으로 측정하였다. 그 결과 정상군, 대조군, 五味消毒飲 추출물 100 mg/kg과 500 mg/kg의 실험군 순으로 TNF- α 는 각각 0.04 ± 0.00 ng/ml, 1.99 ± 0.08 ng/ml, 0.71 ± 0.06 ng/ml, 0.73 ± 0.04 ng/ml로, IL-1 β 는 각각 0.05 ± 0.01 ng/ml, 0.37 ± 0.02 ng/ml, 0.34 ± 0.04 ng/ml, 0.33 ± 0.02 ng/ml로, IL-6는 각각 0.07 ± 0.00 ng/ml, 31.01 ± 1.00 ng/ml, 30.22 ± 2.52 ng/ml, 41.77 ± 4.10 ng/ml로 나타났다. 따라서 五味消毒飲 추출물은 in vivo 실험에서 LPS로 유도된 IL-6와 IL-1 β 의 생성을 억제하지 못하나, TNF- α 의 생성을 억제함을 확인할 수 있었다(Fig. 11).

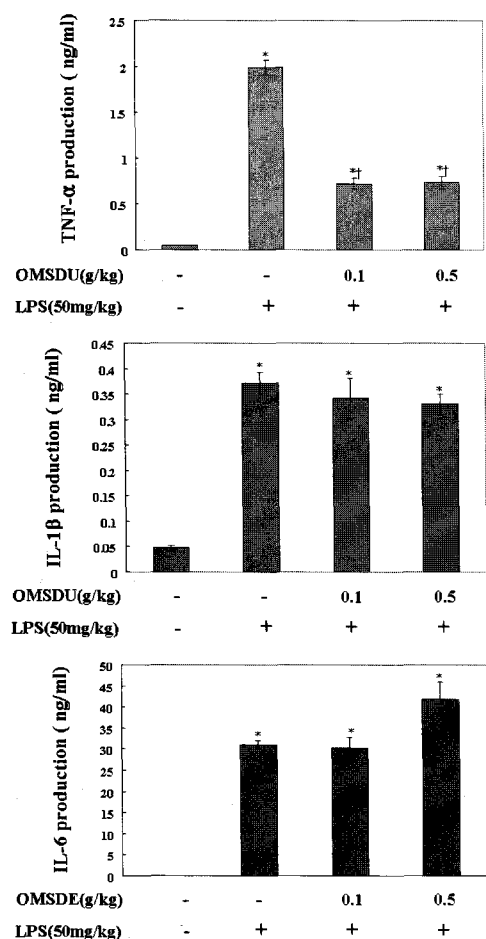


Fig. 11. The effect of OMSDE extract on LPS-induced TNF- α , IL-1 β , IL-6 production in vivo.

IV. 고 찰

五味消毒飲은 金銀花 3錢, 野菊花, 蒲公英, 紫花地丁, 紫背天葵子 각 1錢2分으로 구성된다¹⁾. 五味消毒飲은 각 구성 약물이 清熱解毒, 消腫散結, 活血止痛 작용이 강하여^{14,15)} 항염, 항균 효과가 있어¹⁶⁻²⁰⁾ 급성 골수염, 관절염, 봉와조직염, 폐렴, 외감 발열, 급성 비뇨기계 감염 등 의 치료에 이용된다^{2,21)}. 특히 부인과에서는 热毒에 의한 陰腫, 陰挺, 陰瘡, 帶

下, 乳癰, 자궁경부미란, 급성 골반염, 조기 양막파수, 산욕기 감염, 수술 후 감염 등에 응용된다²²⁻²⁴⁾.

감염에 대한 방어로 감염 4일 이내의 초기에는 선천 면역 (innate immunity) 이 주 면역방어 기전이고, 감염 4일 이후에는 적응 면역 (adaptive immunity) 반응이 유도된다^{25,26)}. 선천 면역은 대식세포를 활성화하고, cytokine을 생성하며, 염증 상태를 발현하는 역할을 한다⁶⁾.

대식세포의 염증 유발과 신호전달 경로 연구에 LPS가 많이 이용된다²⁷⁾. LPS는 그람음성균의 세포벽 성분으로, 내독소 (endotoxin)인 지질 A를 포함하고 있어서, 그람음성균이 대식세포에 의해 파괴되면 혈관계로 배출되어 열, 설사, 심하면 endotoxin shock을 일으킨다²⁸⁾. 이러한 LPS와 대식세포의 세포 표면 수용체인 toll like receptor(TLR)-4의 결합은 신호전달 경로를 활성화하여²⁹⁾ 대식세포의 핵에 신호를 전달함으로써 cytokine을 합성하고 세포외액으로 분비한다³⁰⁾.

cytokine은 면역 세포에서 분비되는 단백질로, 수용체를 가진 다른 세포들의 행동에 영향을 미치어 세포들 사이에서 신호를 주고받게 한다³⁰⁾. TNF- α , IL-1 β , IL-6, IL-12, IFN- α , IFN- β 등은 선천 면역을 매개하고 조절하는 cytokine으로서 다면 발현성의 효과를 통해 염증 반응에 함께 관여한다³¹⁾. 대부분의 cytokine은 저농도일 때 autocrine 작용을 하거나 paracrine 작용을 하지만, 고농도일 때는 endocrine 작용을 하여 shock와 같은 전신반응을 유발할 수 있다³²⁾.

endotoxin shock는 감염이 혈액으로 퍼져나가 생기는 전신 염증성 반응 중후군

으로 혈관기능 정지 (vascular collapse), 과종성 혈관내 응고 (disseminated intravascular coagulation, DIC) 및 대사장애 (metabolic disturbances)를 특징으로 하는데, LPS가 대식세포를 자극하여 cytokine이나 NO를 과잉 분비하게 하기 때문에 일어난다³³⁾.

본 연구에서는 五味消毒飲이 급성 염증 반응에 미치는 효과를 확인하기 위하여 五味消毒飲이 선천 면역에 관여하는 cytokine 및 endotoxin shock에 미치는 영향을 알아보고자, 五味消毒飲이 LPS로 활성화된 대식세포에서 NO 및 TNF- α , IL-1 β , IL-6, IL-12, IFN- α , IFN- β 등의 생성과 그 생성의 기전인 NF- κ B와 MAPK 및 IRF-1, IRF-7에 미치는 영향을 관찰하였다.

먼저 五味消毒飲 추출물이 대식세포의 독성에 미치는 영향을 조사한 결과, 五味消毒飲 추출물 1.0 mg/ml에서는 대식세포의 생존율이 $67 \pm 4.56\%$ 로 세포독성을 나타내었으나 0.5 mg/ml 이하에서는 五味消毒飲 추출물이 세포독성을 나타내지 않았다 (Fig. 1). 따라서 이후의 실험은 五味消毒飲 추출물 1.0 mg/ml는 제외하였다.

본 연구에서 五味消毒飲 추출물이 NO 생성을 억제하였으며 (Fig. 2A), iNOS mRNA의 발현을 억제함을 알 수 있었다 (Fig. 2B). 따라서 五味消毒飲 추출물은 LPS에 의해 활성화된 대식세포에서 전사 단계에서 iNOS mRNA의 발현을 억제함으로써 NO의 생성을 억제하여 항염효과를 나타내는 것으로 사료된다.

또한, 五味消毒飲 추출물은 TNF- α , IL-1 β , IL-6, IL-12의 생성을 모두 억제하였으며 (Fig. 3A-6A), 각 cytokine mRNA

의 발현을 모두 억제하였다 (Fig. 3B-6B). 따라서 五味消毒飲 추출물은 TNF- α , IL-1 β , IL-6, IL-12 mRNA의 발현을 억제하므로 전사 단계에서 TNF- α , IL-1 β , IL-6, IL-12의 생성을 억제하여 항염 효과를 나타내는 것으로 사료된다.

LPS로 활성화된 대식세포에서 NO와 염증성 cytokine인 TNF- α , IL-1 β , IL-6, IL-12는 LPS와 TLR-4의 결합을 통해 NF- κ B가 활성화되고, MAPK가 인산화되면서 생성된다³⁴⁻⁴⁰⁾.

본 연구에서 五味消毒飲 추출물이 NO, TNF- α , IL-1 β , IL-6, IL-12의 생성을 억제하고 각각의 mRNA 발현을 억제하는 것이 I κ B- α 의 degradation 억제를 통한 NF- κ B의 활성 억제와 MAPK 중 ERK 1/2의 인산화 억제를 통해 이루어짐을 확인할 수 있었다 (Fig. 7).

최근 보고에 의하면 대식세포의 LPS에 의한 endotoxin shock에 IFN- α 와 IFN- β 가 관여한다고 알려져 있다⁴¹⁻⁴⁴⁾. 본 연구에서 五味消毒飲 추출물이 IFN- α mRNA의 발현에는 별 영향을 미치지 못하였으나, IFN- β mRNA의 발현은 확연하게 억제하였다 (Fig. 8). 대식세포의 TLR-4가 LPS와 결합하여 전사인자 IRF-1과 IRF-7을 발현시킴으로써 IFN- α 와 IFN- β 를 생성한다⁴⁵⁻⁴⁷⁾.

본 연구에서 五味消毒飲 추출물이 LPS로 활성화된 대식세포에서 전사인자 IRF-1과 IRF-7 mRNA의 발현을 억제함으로써 IFN- β mRNA의 발현을 억제하는 것으로 사료된다 (Fig. 9).

五味消毒飲이 in vivo 실험에서 mouse의 생존율에 미치는 영향을 조사한 결과, LPS만 주사한 대조군은 24시간 후에 0% 생존율을 보였고, 五味消毒飲 추출

물 100 mg/kg을 전처리한 후 LPS를 주사한 실험군은 48시간 후에 0% 생존율을 보여, 五味消毒飲 추출물 100 mg/kg은 endotoxin shock를 지연시키기는 하지만 억제하지는 못하였다. 그러나 五味消毒飲 추출물 500 mg/kg은 72시간 후에도 40%의 생존율을 유지함으로써, 五味消毒飲 추출물이 LPS에 의한 endotoxin shock에 일부 효과가 있음을 확인하였다 (Fig. 10).

五味消毒飲 추출물이 in vivo 실험에서 mouse의 endotoxin shock를 억제하는 것을 확인한 후, 五味消毒飲 추출물이 혈청 TNF- α , IL-1 β , IL-6의 생성에 미치는 영향을 조사한 결과, 五味消毒飲 추출물은 IL-1 β 와 IL-6의 생성에는 영향을 미치지 못하였으나 TNF- α 의 생성을 억제하였다 (Fig. 11). 따라서 五味消毒飲 추출물은 TNF- α 의 생성을 억제함으로써 LPS에 의한 endotoxin shock를 억제하는 것으로 사료된다.

결과적으로 五味消毒飲 추출물은 NF- κ B와 ERK 1/2의 활성을 억제함으로써 NO, TNF- α , IL-1 β , IL-6, IL-12의 생성을 억제하고, IRF-1과 IRF-7을 억제하여 IFN- β 의 발현을 억제하였다. 또한 in vivo 실험에서 五味消毒飲 추출물은 TNF- α 의 생성을 억제하고 endotoxin shock를 부분적으로 억제하였다.

이상의 결과를 통해 볼 때, 五味消毒飲은 항염 및 endotoxin shock 억제 효과가 있어 급성 염증 질환의 치료에 유효하다고 생각되며, 따라서 본 연구가 부인과 염증성 질환의 치료에 五味消毒飲을 응용할 수 있는 실험적 근거를 마련한 것으로 사료된다.

향후 五味消毒飲의 독성평가와 혈청

TYPE I IFN 생성에 미치는 영향, 항균효과 등에 대한 추가 연구가 필요하다고 사료된다.

V. 결 론

본 연구에서는 五味消毒飲이 급성 염증 반응에 미치는 영향을 실험하여 관찰하여 다음과 같은 결과를 얻었다.

1. 五味消毒飲 추출물은 대식세포에서 0.5 mg/ml 이하의 농도에서는 세포 독성을 나타내지 않았다.
2. 五味消毒飲 추출물은 대식세포에서 LPS에 의한 NO, TNF- α , IL-1 β , IL-6, IL-12의 생성 및 mRNA 발현을 억제하였다.
3. 五味消毒飲 추출물은 대식세포에서 LPS에 의한 NF- κ B의 활성과 ERK 1/2의 인산화를 억제하였다.
4. 五味消毒飲 추출물은 대식세포에서 LPS에 의한 IFN- β mRNA의 발현을 억제하였다.
5. 五味消毒飲 추출물은 대식세포에서 LPS에 의한 IRF-1과 IRF-7 mRNA의 발현을 억제하였다.
6. 五味消毒飲 추출물은 in vivo 실험에서 LPS에 의한 endotoxin shock를 부분적으로 억제하였다.
7. 五味消毒飲 추출물은 in vivo 실험에서 LPS에 의한 TNF- α 의 생성을 억제하였다.

이를 바탕으로 五味消毒飲은 급성 골반염과 같은 부인과 영역에서 다양한 급성 염증으로 인한 질환의 증상 억제 및

치료에 적극 활용될 수 있을 것으로 사료된다.

- 투 고 일 : 2008년 1월 23일
- 심 사 일 : 2008년 1월 28일
- 심사완료일 : 2008년 2월 1일

참고문헌

1. 吳謙 등. 御纂醫宗金鑑. 서울: 法人文化社. 2006:954-956.
2. 楊蘊祥. 古今名方. 河南省: 河南科學技術出版社. 1983:519.
3. 한방여성의학 편찬위원회. 한방여성의학 I, II. 서울: 정담. 2007; I 282-310, 316, II 312, 354.
4. 夏桂成. 實用婦科方劑學. 北京: 人民衛生出版社. 1997:313-314.
5. Abul K. Abbas, Andrew H. Lichtman. Basic Immunology: Functions and Disorders of the Immune System. 2nd ed. Seoul: Panmun Books. 2005;1-39, 263-289.
6. Peter Parham. The immune system. 2nd ed. Seoul: Lifescience Publishing Co.. 2006; 1-33, 223-273.
7. Rietschel ET. et al. Bacterial endotoxin: molecular relationships of structure to activity and function. FASEB J. 1994;8(2):217-225.
8. Galdiero F. et al. Release of cytokines induced by *Salmonella typhimurium* porins. Infect Immun. 1993;61(1): 155-161.
9. 서울대학교 의과대학 미생물학교실. 핵심 병원미생물학. 서울: 서울대학 교출판부. 2006; 11-30, 65-163.
10. Mosmann T. Rapid colorimetric assay for cellular growth and survival: application to proliferation and cytotoxicity assays. J Immunol Methods. 1983;65:55-63.
11. Schmidt, HHW, Kelm M. Determination of nitrite and nitrate by the Griess reaction. In: Methods in Nitric Oxide Research, edited by Freilisch M, and Stamler J. Chichester, UK: Wiley. 1996:491-497.
12. Bergsdorf N, Nilsson T, Wallen P. An enzyme linked immunosorbent assay for determination of tissue plasminogen activator applied to patients with thromboembolic disease. Thromb Haemos. 1983; 50(3):740-744.
13. Burnette WN. "Western blotting": electrophoretic transfer of proteins from sodium dodecyl sulfate-polyacrylamide gels to unmodified nitrocellulose and radiographic detection with antibody and radioiodinated protein A. Anal Biochem. 1981;112(2):195-203.
14. 許浚. 原本 東醫寶鑑. 6판. 서울: 南山堂. 2001:533-556.
15. 전국한의과대학 본초학교실. 본초학. 서울: 영림사. 2000:343, 411, 439, 445, 577.
16. 신재용. 金銀花 煎湯 熟成度에 따른 抑菌作用에 關한 實驗研究. 대한한의학회지. 1983;4(2):32-38.
17. 김종운. 菊花와 野菊의 效能에 關한 比較 研究. 경희대학교 대학원 한의

- 학과 본초학 교실 석사학위논문. 1984.
18. 김석근. 浦公英 水抽出物의 鎮痛 抗炎作用에 미치는 影響. 한의학회지. 1992;13(1):152-161.
 19. 고운채. 紫花地丁의 鎮痛·消炎에 관한 實驗的 研究. 본초학회지. 1987; 2(1):17-24.
 20. 박성규. 紫花地丁 種類의 效能에 關한 比較 研究. 본초학회지. 1991; 6(1):77-83.
 21. 俞小平, 黃志傑. 中國古方新用. 北京: 科學技術文獻出版社., 2000:237-247.
 22. 夏桂成. 中醫臨床婦科學. 北京: 人民衛生出版社. 1994:369, 564.
 23. 陣茂仁, 張俊龍. 中西醫結合專科病診療大系 婦產科病學. 山西省: 山西科學技術出版社. 1999:63-68.
 24. 羅元愷. 實用中醫婦科學. 上海: 上海科學技術出版社. 1997:263-265.
 25. 김세종. 면역학 길라잡이. 서울: 고려 의학. 2000;1-13, 65-68, 89-90.
 26. Richard A. et al. Kuby immunology. 5th ed. Seoul: World Science Co.. 2006;1-62, 315-339, 385-409.
 27. J.H.L. Playfair, B.M. Chain. Immunology at a Glance. 8th ed. Seoul: E*PUBLIC. 2006; 10-11, 20-21, 54, 60-61.
 - 28.김장수 역. 알기 쉽게 이해하는 임상 미생물학. 서울: 도서출판 대한의학 서적. 2003; 3-17.
 29. Sweet MJ, Hume DA. Endotoxin signal transduction in macrophages. *J Leukoc Biol* 1996;60(1):8-26.
 30. Janeway, Charles A. Immunology. 6th ed. Seoul: Lifescience Publishing Co., 2005; 37-103, 214-256, 434-489.
 31. 임병우, 최동국, 석경호. 기초 면역학. 서울: 도서출판 효일. 2006; 189-235.
 32. Paterson RL, Webster NR. Sepsis and the systemic inflammatory response syndrome. *J R Coll Surg Edinb* 2000;45(3):178-82.
 33. Clancy RM, Abramson SB. Nitric oxide: a novel mediator of inflammation. *Proc Soc Exp Biol Med*. 1995;210(2):93-101.
 34. Galea E, Feinstein DL, Reis DJ. Induction of calcium-independent nitric oxide synthase activity in primary rat glial cultures. *Proc Natl Acad Sci U S A*. 1992;89(22):10945-10949.
 35. Simmons ML, Murphy S. Induction of nitric oxide synthase in glial cells. *J Neurochem*. 1992;59(3):897-905.
 36. Kang JL, Lee K, Castranova V. Nitric oxide up-regulates DNA-binding activity of nuclear factor-kappaB in macrophages stimulated with silica and inflammatory stimulants. *Mol Cell Biochem*. 2000; 215(1-2):1-9.
 37. Lee BG et al. Suppression of inducible nitric oxide synthase expression in RAW 264. 7 macrophages by two beta-carboline alkaloids extracted from *Melia azedarach*. *Eur J Pharmacol*. 2000; 406(3):301-309.
 38. Seo WG et al. Inhibitory effect of ethyl acetate fraction from *Cudrania tricuspidata* on the expression of

- nitric oxide synthase gene in RAW 264.7 macrophages stimulated with interferon-gamma and lipopolysaccharide. *Gen Pharmacol.* 2000;35(1):21-28.
39. Medvedev AE, Kopydlowski KM, Vogel SN. Inhibition of lipopolysaccharide-induced signal transduction in endotoxin-tolerized mouse macrophages: dysregulation of cytokine, chemokine, and toll-like receptor 2 and 4 gene expression. *J Immunol.* 2000;164(11): 5564-5574.
40. Cho SY et al. Quercetin suppresses proinflammatory cytokines production through MAP kinases and NF-kappaB pathway in lipopolysaccharide-stimulated macrophage. *Mol Cell Biochem.* 2003;243(1-2):153-160.
41. Bogdan C. The function of type I interferons in antimicrobial immunity. *Curr Opin Immunol.* 2000;12(4): 419-424.
42. Toshchakov V. et al. TLR4, but not TLR2, mediates IFN-beta-induced STAT1alpha/beta-dependent gene expression in macrophages. *Nat. Immunol.* 2002;3(4):392-398.
43. Sing A. et al. Bacterial induction of beta interferon in mice is a function of the lipopolysaccharide component. *Infect Immun.* 2000;68(3):1600-1607.
44. Deonarain R et al. Impaired antiviral response and alpha/beta interferon induction in mice lacking beta interferon. *J Virol.* 2000;74(7): 3404-3409.
45. Marie I, Durbin JE, Levy DE. Differential viral induction of distinct interferon-alpha genes by positive feedback through interferon regulatory factor-7. *EMBO J.* 1998;17(22):6660-6669.
46. Sato M et al. Distinct and essential roles of transcription factors IRF-3 and IRF-7 in response to viruses for IFN-alpha/beta gene induction. *Immunity.* 2000;13(4):539-548.
47. Taniguchi T et al. IRF family of transcription factors as regulators of host defense. *Annu Rev Immunol.* 2001;19:623-655.